

Algorytmy Optymalizacji Inspirowane Naturą

Projekt startowy

Jakub Wasilewski 263852

20.11.2025

Spis treści

1 Sformułowanie zadania	3
2 Sposób rozwiązywania zadania	3
3 Metody użyte do rozwiązania zadania	3
4 Implementacja	3
4.1 Reprezentacja i dekoder	3
4.2 Algorytm losowy	3
4.3 Algorytm zachłanny	3
4.4 Symulowane wyżarzanie (SA)	4
4.5 Algorytm ewolucyjny (EA)	4
4.6 Konfiguracja i logi	5
5 Pliki wejściowe	5
6 Procedura badawcza	5
7 Wyniki badań przed strojeniem metaheurystyk	5
7.1 Wyniki zbiorcze	5
7.2 Wykresy	7
7.3 Wnioski (etap bazowy)	11
8 Wyniki badań po strojeniu	11
8.1 Strojenie #1: Lepsze operatory + podstawowe wzmocnienie	11
8.1.1 Cel i parametry	11
8.1.2 Wyniki	12
8.1.3 Analiza wyników	12
8.1.4 Wykresy (A-n45-k6)	13
8.2 Strojenie #2: Eksplotacja lokalna	14
8.2.1 Cel i parametry	14
8.2.2 Wyniki	14
8.2.3 Analiza wyników	14
8.2.4 Wykresy (A-n45-k6)	15
8.3 Strojenie #3: Czysta eksploracja	16
8.3.1 Cel i parametry	16
8.3.2 Wyniki	16
8.3.3 Analiza wyników	16
8.3.4 Wykresy (A-n45-k6)	17

8.4	Strojenie #4: Hybrydowe połączenie	18
8.4.1	Cel i parametry	18
8.4.2	Wyniki	18
8.4.3	Analiza wyników	18
8.4.4	Wykresy (A-n45-k6)	19
8.5	Podsumowanie strojeń	20

1 Sformułowanie zadania

Celem jest implementacja i przebadanie metaheurystyki Algorytmu Ewolucyjnego (EA) dla problemu cVRP oraz porównanie jej z metodami nieewolucyjnymi: algorytmem zachłannym (greedy), symulowanym wyżarzaniem (SA) i losowym przeszukiwaniem. Funkcja celu minimaлизuje łączny koszt tras floty pojazdów o ograniczonej pojemności.

2 Sposób rozwiązywania zadania

Rozwiązania kodowane są jako permutacje klientów (jak w TSP). Dekoder dzieli permutację na trasy spełniające ograniczenie pojemności i liczy koszt sumując odległości (EUC_2D, zaokrąglanie). Metaheurystyki operują na permutacjach; ocena to łączny koszt z dekodera.

3 Metody użyte do rozwiązywania zadania

- Algorytm losowy (random)
- Algorytm zachłanny (greedy)
- Symulowane wyżarzanie (SA)
- Algorytm ewolucyjny (EA)

4 Implementacja

4.1 Reprezentacja i dekoder

Każde rozwiązanie to permutacja klientów (magazyn pomijany). Dekoder przechodzi po permutacji, sumuje zapotrzebowanie i gdy pojemność jest przekroczona, rozpoczyna nową trasę. Koszt to suma odległości z/do magazynu i między kolejnymi klientami (EUC_2D, zaokrąglone).

4.2 Algorytm losowy

- Proste losowe przeszukiwanie przestrzeni rozwiązań bez heurystyk.
- W każdej iteracji generowana jest losowa permutacja klientów, która jest następnie dekodowana na rozwiązanie cVRP.
- **Parametry:** Liczba iteracji: 2000 (`random_iterations=2000`).
- **Log:** W każdej iteracji zapisywane są: najlepsze rozwiązanie dotąd (best), bieżące (current), średnia ze wszystkich (avg), najgorsze dotąd (worst).

4.3 Algorytm zachłanny

- Konstrukcja rozwiązania poprzez zachłanny wybór najbliższego nieodwiedzonego klienta (nearest-neighbour).
- Algorytm rozpoczyna od wybranego punktu startowego i iteracyjnie dodaje najbliższego klienta do trasy, aż wszyscy zostaną odwiedzeni. Dekoder automatycznie tworzy nowe trasy przy przekroczeniu pojemności.
- **Multi-start:** Wykonuje się wiele restartów z różnymi punktami startowymi (rotacja po klientach), by zwiększyć szansę na znalezienie dobrego rozwiązania.

- **Parametry:** Liczba restartów: `greedy_restarts` (domyślnie równa liczbie klientów).
- **Log:** Po każdym restarcie zapisywane są statystyki best/current/avg/worst.

4.4 Symulowane wyżarzanie (SA)

- Metaheurystyka inspirowana procesem wyżarzania metali - stopniowe ”oziębianie” systemu pozwala na wyjście z minimów lokalnych.
- **Rozwiążanie startowe:** Losowa permutacja klientów (każde uruchomienie startuje z innego punktu przestrzeni rozwiązań).
- **Sąsiedztwo:** Operator swap - zamiana dwóch losowych pozycji w permutacji. Prosty operator pozwalający na eksplorację różnych konfiguracji tras.
- **Akceptacja rozwiązania:**
 - Jeśli nowe rozwiązanie jest lepsze (niższy koszt) - zawsze akceptowane.
 - Jeśli gorsze - akceptowane z prawdopodobieństwem $\exp(-\Delta/T)$, gdzie Δ to różnica kosztów, a T to bieżąca temperatura.
 - Wysoka temperatura na początku pozwala akceptować gorsze ruchy (eksploracja), niska na końcu wymusza schodzenie do minimum (eksploatacja).
- **Schemat chłodzenia:** Temperatura obniżana geometrycznie: $T_{i+1} = \alpha \cdot T_i$, gdzie α to współczynnik chłodzenia (np. 0.995).
- **Parametry:** Temperatura początkowa T_0 , minimalna T_{\min} , współczynnik chłodzenia α , liczba iteracji na każdą temperaturę.
- **Kryterium stopu:** Algorytm kończy się gdy temperatura spadnie poniżej T_{\min} .
- **Log:** W każdej iteracji zapisywane są best/current/avg/worst, co pozwala obserwować charakterystyczne ”skoki” przy akceptacji gorszych rozwiązań.

4.5 Algorytm ewolucyjny (EA)

- **Metoda:** Metaheurystyka inspirowana ewolucją biologiczną - populacja rozwiązań ewoluje przez selekcję, krzyżowanie i mutację.
- **Inicjalizacja:** Populacja losowych permutacji (rozmiar `ea_population`), każda dekodowana i oceniana.
- **Selekcja:** Turniejowa - losujemy `ea_tournament` osobników i wybieramy najlepszego. Większy turniej zwiększa presję selekcyjną (silniejsze osobniki mają większą szansę reprodukcji).
- **Krzyżowanie:**
 - Operator Ordered Crossover (OX) - kopiuje segment od rodzica 1, uzupełnia brakujące elementy w kolejności z rodzica 2.
 - Operator Partially Mapped Crossover (PMX) - wymienia segmenty między rodzicami i naprawia konflikty przez mapowanie pozycji.
 - Oba operatory zachowują poprawność permutacji (każdy klient występuje dokładnie raz).
 - Stosowane z prawdopodobieństwem `ea_crossover_rate` (Px); w przeciwnym razie kopowany jest rodzic bez zmian.

- **Mutacja:**
 - Swap - zamienia miejscami dwa losowo wybrane geny (klientów) w permutacji. Prosty operator lokalnej zmiany.
 - Inversion - odwraca kolejność genów w losowo wybranym segmencie permutacji. Większa zmiana niż swap.
 - Wprowadzają różnorodność genetyczną, pozwalając uciec z minimów lokalnych.
 - Każdy gen mutowany z prawdopodobieństwem `ea_mutation_rate` (Pm).
- **Elitaryzm:** Kopiowanie `ea_elites` najlepszych osobników do następnego pokolenia bez zmian - zapewnia że najlepsze rozwiązania nie zostaną utracone.
- **Parametry:** `ea_population`, `ea_generations`, `ea_crossover_rate`, `ea_mutation_rate`, `ea_tournament`, `ea_elites`, typ krzyżowania, typ mutacji.
- **Kryterium stopu:** Algorytm kończy się po wykonaniu `ea_generations` pokoleń.
- **Log:** W każdym pokoleniu zapisywane są statystyki całej populacji: best (najlepszy osobnik), avg (średnia populacji), worst (najgorszy osobnik) - pozwala śledzić zbieżność i różnorodność.

4.6 Konfiguracja i logi

Parametry w plikach `config_baseline.ini` / `config_tuning.ini` (katalogi danych/logów, liczba uruchomień per algorytm, ustawienia EA/SA/greedy/losowy). Program zapisuje logi dla każdego uruchomienia w plikach CSV, a zbiorcze statystyki w `summary.csv`. Skrypt `scripts/plot_logs.py` generuje wykresy pojedynczych przebiegów, zestawienia i wykres słupkowy najlepszych wyników.

5 Pliki wejściowe

Instancje z katalogu `inputs/`: A-n32-k5, A-n37-k6, A-n39-k5, A-n45-k6, A-n48-k7, A-n54-k7, A-n60-k9. Optymalne koszty z `optimal-solutions/*.sol`.

6 Procedura badawcza

- Uruchomienie: `./bin/vrp_runner config_baseline.ini`.
- Parametry bazowe: `random_runs=1000` (`iteracje=2000`), `greedy_runs=N` (`restarts=32`), `sa_runs=10` ($T_0 = 100$, $T_{min} = 0,01$, $\alpha = 0,995$, `iter/temp=20`), `ea_runs=10` (`pop=100`, `gen=2000`, `Px=0,7`, `Pm=0,1`, `tour=5`, `elites=1`, krzyżowanie: OX, mutacja: swap).
- Wizualizacje: `plot_logs.py` generuje wykresy single/combined/bar_best do `logs_*/` oraz `plots_*/`.

7 Wyniki badań przed strojeniem metaheurystyk

7.1 Wyniki zbiorcze

Tabela przedstawia statystyki wyników z wielu uruchomień każdego algorytmu. Dla każdego algorytmu przeprowadzono N niezależnych uruchomień, każde zwracające najlepsze znalezione rozwiązanie. Kolumny Best/Worst/Avg/Std oznaczają odpowiednio: najlepszy wynik ze wszystkich N uruchomień, najgorszy wynik, średnią arytmetyczną oraz odchylenie standardowe.

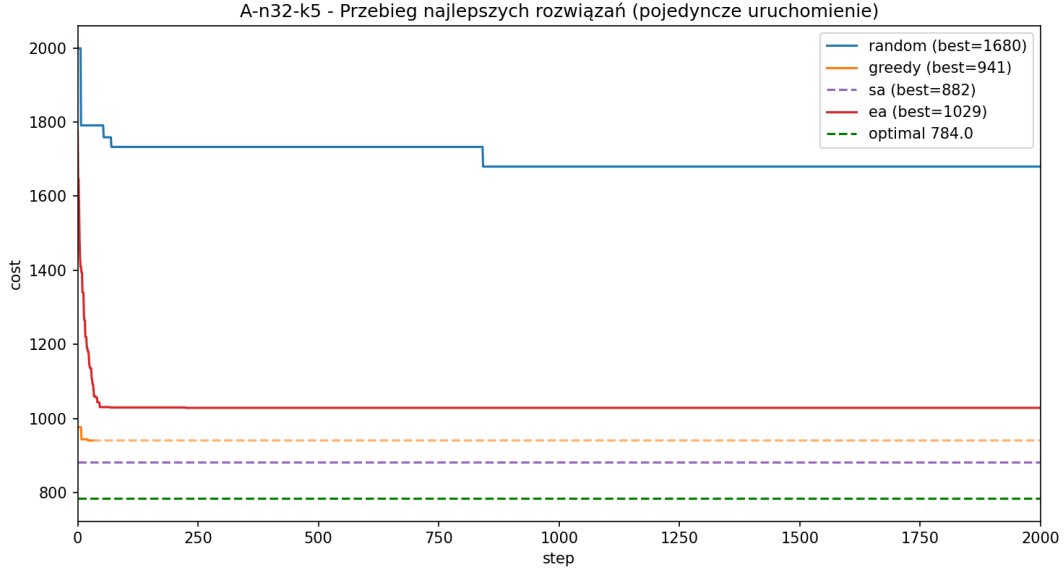
Tabela 1: Wyniki zbiorcze przed strojeniem metaheurystyk

Instance	Optimal	Random Runs	Random Best	Random Worst	Random Avg	Random Std	Greedy Runs	Greedy Best	Greedy Worst	Greedy Avg	Greedy Std	EA Runs	EA Best	EA Worst	EA Avg	EA Std	SA Runs	SA Best	SA Worst	SA Avg	SA Std
A-n32-k5	784	1000	1306	1745	1627.68	46.93	32	941	941	941	0.00	10	914	1066	991.5	48.55	889	937	889	36.10	
A-n37-k6	949	1000	1551	1866	1762.47	43.20	37	1058	1058	1058	0.00	10	1066	1131	1064.7	38.71	10	995	1066	1028.2	22.64
A-n39-k5	822	1000	1518	1820	1720.1	43.49	39	920	920	920	0.00	10	935	1108	1015.2	31.17	10	862	1022	940.6	49.76
A-n43-k6	944	1000	1986	2295	2234.01	53.15	45	1119	1119	1119	0.00	10	116	1454	1244.5	44.98	10	1007	1221	1129.8	70.88
A-n48-k7	1073	1000	2108	2472	2354.95	56.97	48	1301	1301	1301	0.00	10	1256	1452	1365.2	59.04	10	1208	1318	1257.4	30.73
A-n54-k7	1167	1000	2395	2814	2689.17	59.84	54	1380	1380	1380	0.00	10	1380	1610	1509	73.11	10	1298	1436	1350.8	40.73
A-n60-k9	1354	1000	2777	3193	3068.58	62.74	60	1524	1524	1524	0.00	10	1563	1823	1672.7	86.57	10	1501	1638	1570.3	43.11

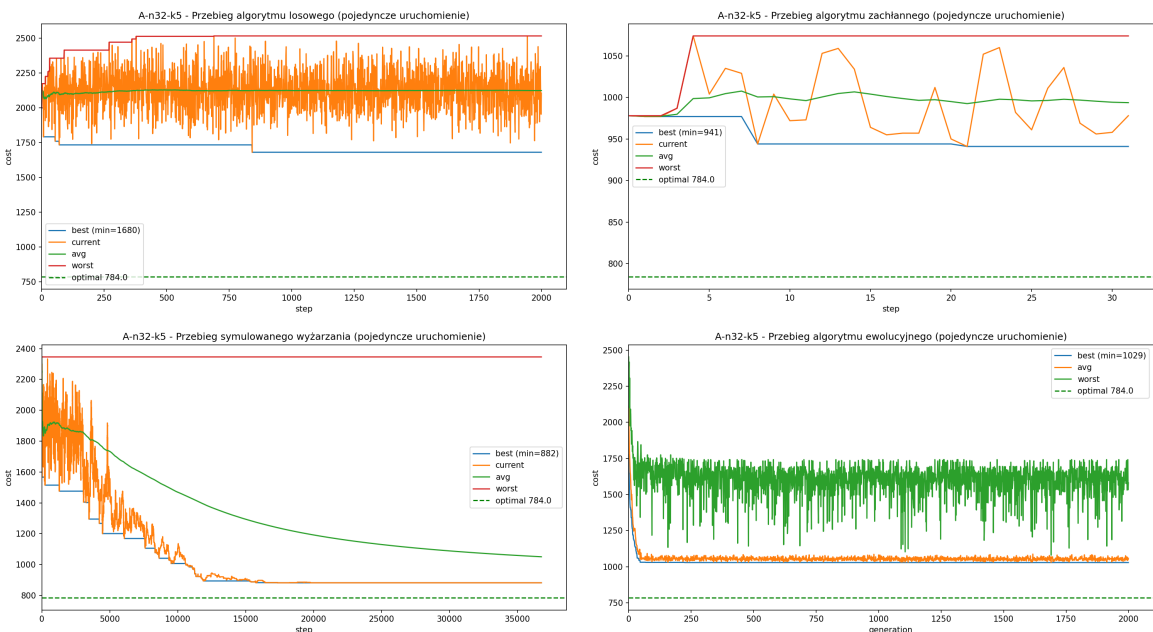
7.2 Wykresy

Poniżej przedstawiono wykresy dla trzech wybranych instancji. Dla każdej instancji pokazano:

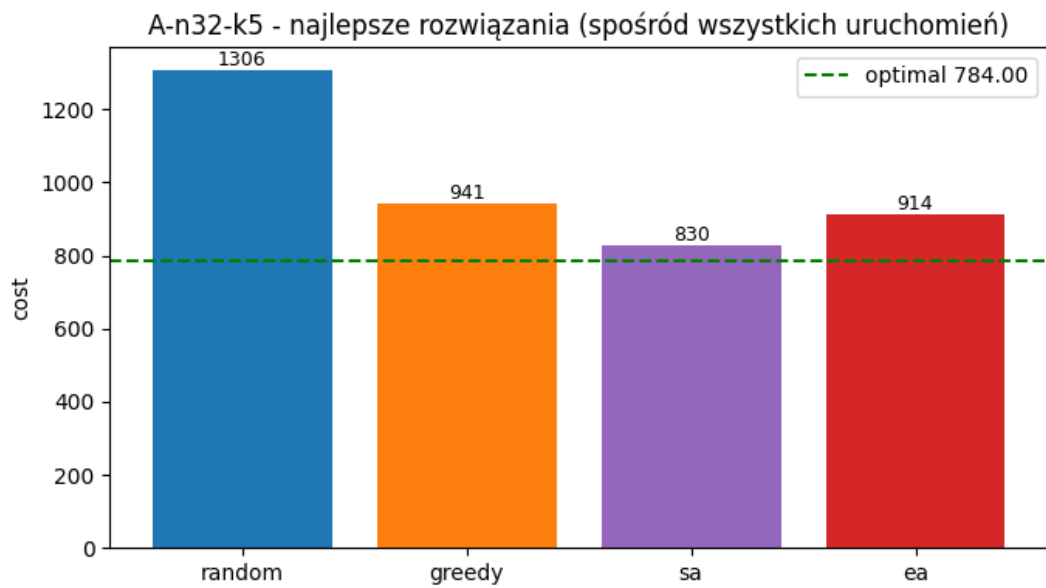
- Porównanie najlepszych przebiegów (best) wszystkich algorytmów (pojedyncze uruchomienie),
- Przebiegi: najlepsze (best) / bieżące (current) / średnie (avg) / najgorsze (worst) poszczególnych algorytmów (pojedyncze uruchomienie),
- Porównanie najlepszych wyników ze wszystkich uruchomień (wykres słupkowy).



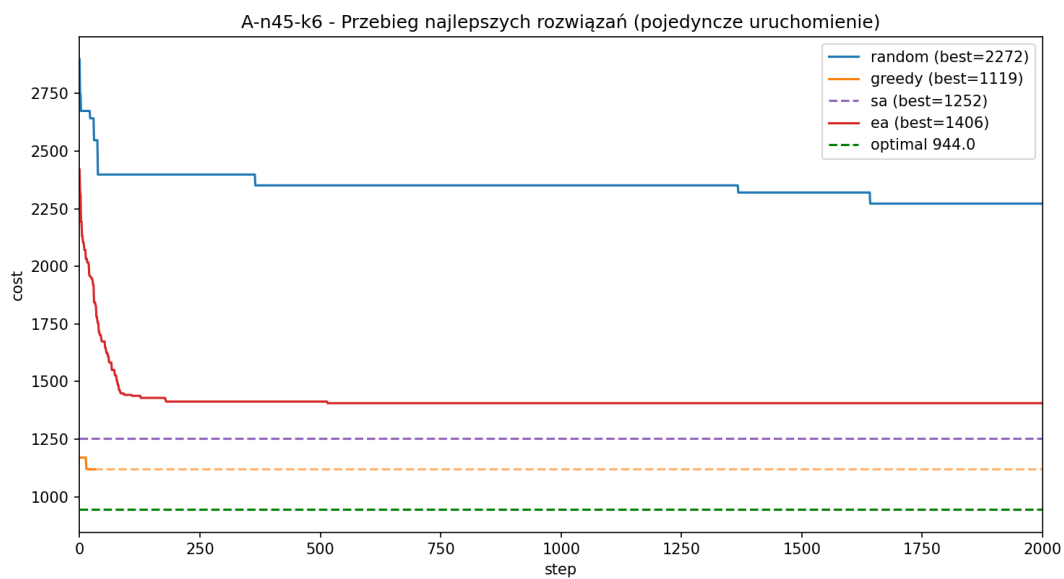
Rysunek 1: A-n32-k5: porównanie najlepszych przebiegów (best) wszystkich algorytmów (pojedyncze uruchomienie)



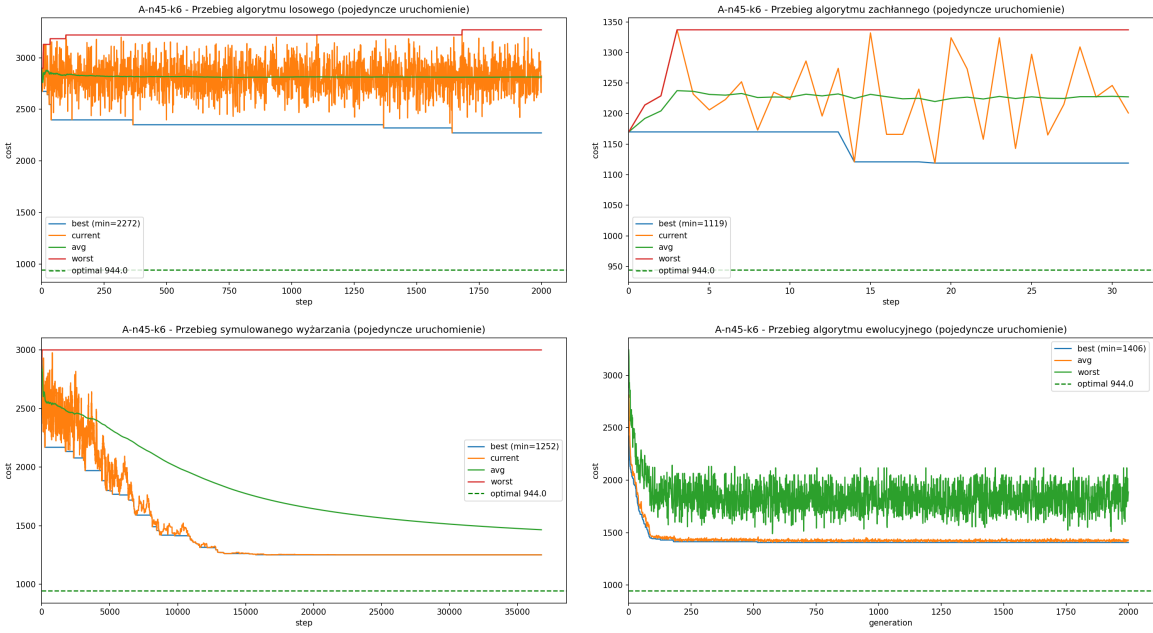
Rysunek 2: A-n32-k5: przebiegi poszczególnych algorytmów - najlepsze/bieżące/średnie/najgorsze (best/current/avg/worst) dla pojedynczego uruchomienia



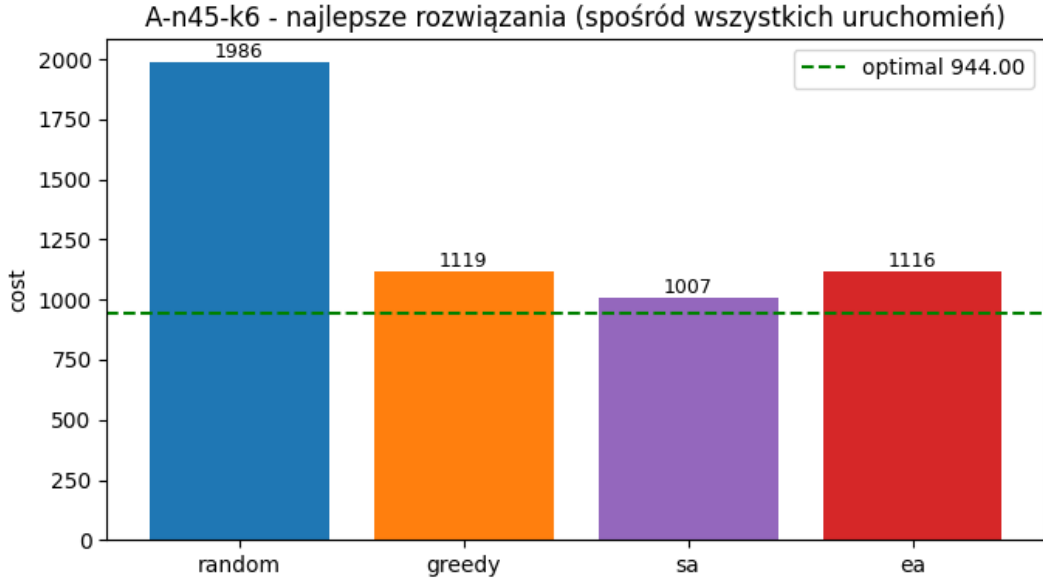
Rysunek 3: A-n32-k5: porównanie najlepszych wyników ze wszystkich uruchomień z linią optimum



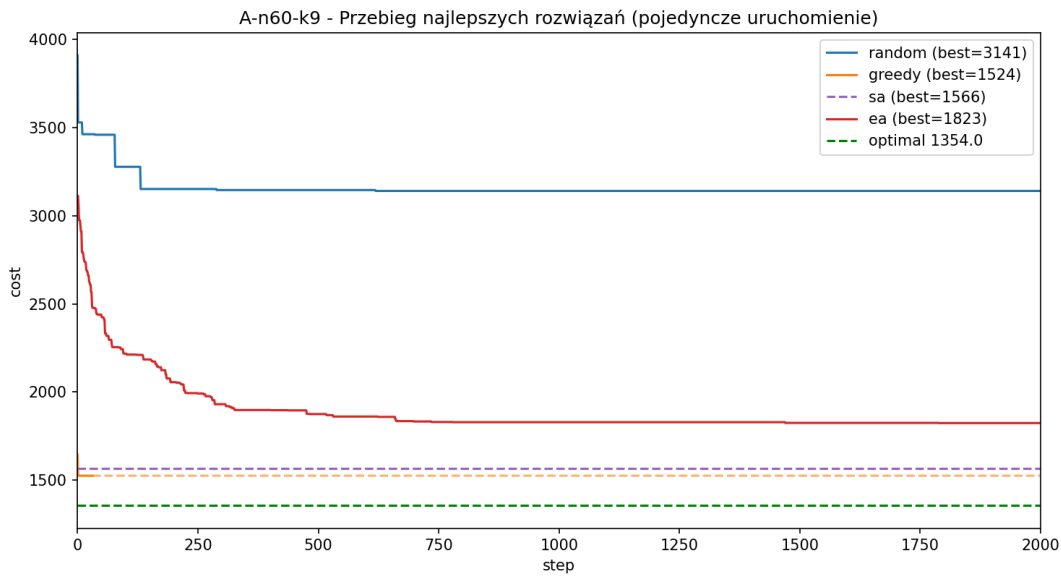
Rysunek 4: A-n45-k6: porównanie najlepszych przebiegów (best) wszystkich algorytmów (pojedyncze uruchomienie)



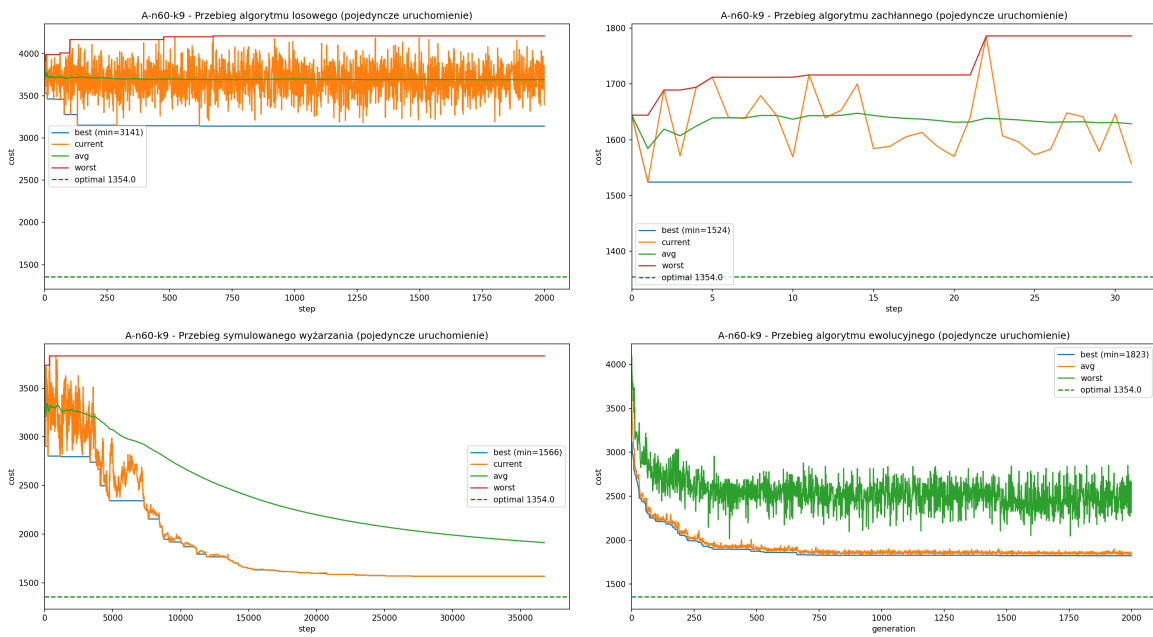
Rysunek 5: A-n45-k6: przebiegi poszczególnych algorytmów - najlepsze/bieżące/średnie/najgorsze (best/current/avg/worst) dla pojedynczego uruchomienia



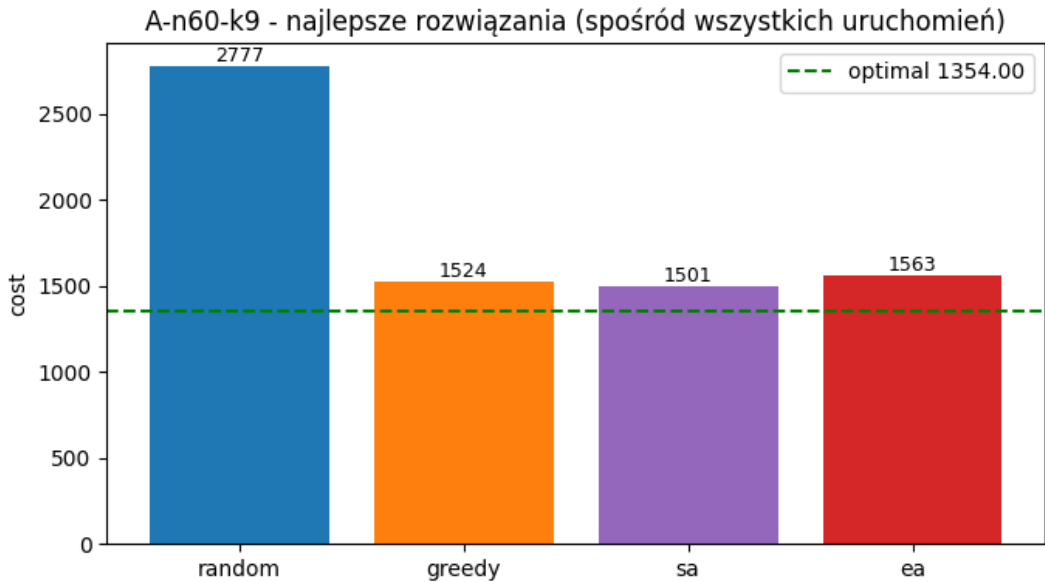
Rysunek 6: A-n45-k6: porównanie najlepszych wyników ze wszystkich uruchomień z linią optimum



Rysunek 7: A-n60-k9: porównanie najlepszych przebiegów (best) wszystkich algorytmów (pojedyncze uruchomienie)



Rysunek 8: A-n60-k9: przebiegi poszczególnych algorytmów - najlepsze/bieżące/średnie/najgorsze (best/current/avg/worst) dla pojedynczego uruchomienia



Rysunek 9: A-n60-k9: porównanie najlepszych wyników ze wszystkich uruchomień z linią optimum

7.3 Wnioski (etape bazowy)

- Greedy jest stabilny i często lepszy od niedostrojonych EA/SA przy obecnym krótkim budżecie obliczeń.
- SA w ustawieniach bazowych jest blisko optimum, wymaga więcej kroków/temperatur, by przebić greedy na trudniejszych instancjach.
- EA (OX+swap, mała populacja/pokolenia) przegrywa z greedy; potrzebne: większa populacja, bogatsze mutacje (inwersja/2-opt), lepsze krzyżowania (PMX/CX), inicjalizacja z greedy.
- Dalsze kroki: strojenie parametrów, dodanie nowych operatorów.

8 Wyniki badań po strojeniu

Przeprowadzono cztery etapy dostrajania parametrów algorytmów EA i SA, testując różne strategie optymalizacji. Każde strojenie koncentrowało się na innym aspekcie: lepsze operatory genetyczne, eksploracja lokalna, czysta eksploracja oraz hybrydowe połączenie najlepszych cech.

8.1 Strojenie #1: Lepsze operatory + podstawowe wzmacnienie

8.1.1 Cel i parametry

Celem pierwszego strojenia było wprowadzenie bardziej zaawansowanych operatorów genetycznych oraz wzmacnienie parametrów obu metaheurystyk. Kluczowe zmiany względem baseline:

EA:

- Zmiana operatorów krzyżowania: OX → PMX
- Zmiana operatorów mutacji: swap → inversion

- Populacja: $100 \rightarrow 120$
- Crossover rate: $0.7 \rightarrow 0.85$
- Mutation rate: $0.1 \rightarrow 0.20$
- Turnament: $5 \rightarrow 3$ (słabsza presja selekcyjna)
- Elites: $1 \rightarrow 2$

SA:

- Temperatura początkowa: $100 \rightarrow 800$ (8x wzrost)
- Iteracje na temperaturę: $20 \rightarrow 150$ (7.5x wzrost)
- Szacowana liczba kroków: $\sim 1800 \rightarrow \sim 16000$

8.1.2 Wyniki

Tabela przedstawia statystyki wyników z 10 uruchomień EA i SA dla każdej instancji (format jak w sekcji baseline: Best/Worst/Avg/Std oznaczają odpowiednio najlepszy, najgorszy, średni i odchylenie standardowe wyników ze wszystkich uruchomień).

Tabela 2: Wyniki strojenia #1 - lepsze operatory (PMX + inversion)

Instance	Optimal	Random Runs	Random Best	Random Worst	Random Avg	Random Std	Greedy Runs	Greedy Best	Greedy Worst	Greedy Avg	Greedy Std	EA Runs	EA Best	EA Worst	EA Avg	EA Std	SA Runs	SA Best	SA Worst	SA Avg	SA Std
A-n32-k5	784	1000	1404	1793	1655.46	52.12	941	941	941	941	0.00	10	807	926	884.2	38.32	10	796	863	829.6	17.14
A-n37-k6	949	1000	1602	1893	1788.62	48.76	37	1058	1058	1058	0.00	10	977	1057	1017.8	24.21	10	963	1013	989.8	17.74
A-n40-k5	922	1000	1257	1851	1745.73	48.75	39	920	920	920	0.00	10	807	947	847.7	32.11	10	838	944	873.7	32.29
A-n45-k6	944	1000	1916	2434	2299.73	60.24	45	1119	1119	1119	0.00	10	1008	1216	1131.4	66.37	10	971	1098	1007.8	37.88
A-n48-k7	1073	1000	2155	2526	2388.64	59.29	48	1301	1301	1301	0.00	10	1237	1353	1295.3	37.68	10	1120	1188	1162.1	21.15
A-n54-k7	1167	1000	2453	2864	2722.84	60.67	54	1380	1380	1380	0.00	10	1250	1450	1361.1	62.44	10	1232	1317	1262	27.39
A-n60-k9	1354	1000	2762	3245	3103.12	65.95	60	1524	1524	1524	0.00	10	1558	1753	1638.6	50.62	10	1396	1532	1473.9	38.56

8.1.3 Analiza wyników

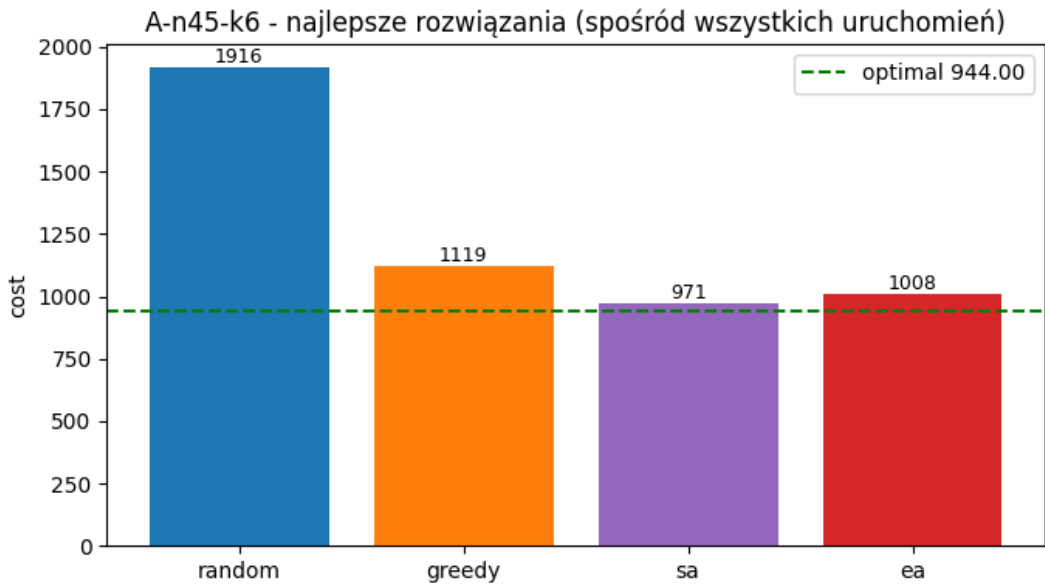
Poprawa względem baseline:

- **EA:** Średnia najlepszych wyników (z kolumny best dla wszystkich 7 instancji): $1167.1 \rightarrow 1099.1$ (poprawa o 5.8%). Wprowadzenie operatorów PMX i inversion znacząco poprawiło jakość rozwiązań.
- **SA:** Średnia najlepszych wyników: $1100.1 \rightarrow 1044.3$ (poprawa o 5.1%). Zwiększenie budżetu obliczeń pozwoliło na lepszą eksplorację przestrzeni.
- **EA vs Greedy:** EA zaczął osiągać lepsze wyniki niż greedy (np. A-n32-k5: 807 vs 941).

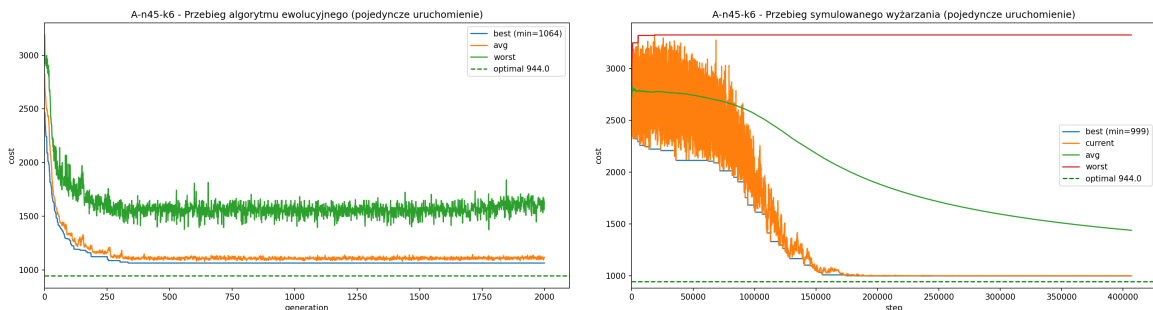
Wnioski:

- Operatory PMX i inversion są wyraźnie lepsze niż OX i swap dla problemu CVRP:
 - PMX lepiej zachowuje względne pozycje klientów (ważne dla struktury tras)
 - Inversion wprowadza większe zmiany niż swap, co poprawia eksplorację przestrzeni rozwiązań
- Zwiększenie budżetu obliczeń SA dało wyraźną poprawę bez ryzyka przedwczesnej zbieżności.
- Zmniejszenie presji selekcyjnej (turnament 5→3) pomogło w utrzymaniu różnorodności populacji.

8.1.4 Wykresy (A-n45-k6)



Rysunek 10: Strojenie #1 (A-n45-k6): porównanie najlepszych wyników ze wszystkich uruchomień



Rysunek 11: Strojenie #1 (A-n45-k6): przebiegi pojedynczych uruchomień EA i SA

8.2 Strojenie #2: Eksplotacja lokalna

8.2.1 Cel i parametry

Celem drugiego strojenia było przetestowanie czy eksplotacja lokalna (greedy seeding + 2-opt) poprawi wyniki EA. Wprowadzono mechanizmy szybkiego znajdowania dobrych rozwiązań poprzez:

EA:

- Populacja: 120 → 150
- Generacje: 2000 → 2500
- Crossover rate: 0.85 → 0.90
- Mutation rate: 0.20 → 0.15 (mniej eksploracji)
- Turnament: 3 → 5 (silniejsza presja)
- Elites: 2 → 3
- **Greedy init: 0.0 → 0.3** (30% populacji z greedy)
- **2-opt rate: 0.0 → 0.2** (lokalna poprawa)

SA:

- Temperatura początkowa: 800 → 1400
- Minimalna temperatura: 0.001 → 0.0005
- Cooling rate: 0.995 → 0.996
- Iteracje na temperaturę: 150 → 200
- Szacowana liczba kroków: ~16000 → ~65000

8.2.2 Wyniki

Tabela 3: Wyniki strojenia #2 (eksplotacja)

Instance	Optimal	Random Run	Random Best	Random Worst	Random Avg	Random Std	Greedy Run	Greedy Best	Greedy Worst	Greedy Avg	Greedy Std	EA Run	EA Best	EA Worst	EA Avg	EA Std	SA Run	SA Best	SA Worst	SA Avg	SA Std
A-n32-k5	784	1000	1428	1778	1853.2	52.79	941	941	941	941	0.00	10	811	880	847.4	22.60	10	807	880	835.9	19.81
A-n37-k6	949	1000	1623	1890	1789.93	44.82	37	1058	1058	1058	0.00	10	970	989	976.8	6.85	10	956	1007	978.4	15.07
A-n39-k6	822	1000	1567	1856	1748.07	46.63	39	928	920	920	0.00	10	834	858	844	7.39	10	830	875	850.4	14.45
A-n45-k6	944	1000	2001	2455	2300.71	59.04	45	1119	1119	1119	0.00	10	962	1063	1021.2	26.05	10	960	1042	1000.1	23.85
A-n48-k7	1075	1000	2183	2217	2207.01	57.76	48	1391	1391	1391	0.00	10	1059	1189	1177	10.00	10	1114	1187	1157.1	14.97
A-n54-k7	1167	1000	2347	2866	2723.43	60.82	54	1380	1380	1380	0.00	10	1226	1282	1248.1	16.11	10	1201	1290	1252.1	25.09
A-n60-k9	1354	1000	2880	3243	3106.46	62.77	60	1524	1524	1524	0.00	10	1376	1421	1394	12.17	10	1407	1490	1447.7	27.93

8.2.3 Analiza wyników

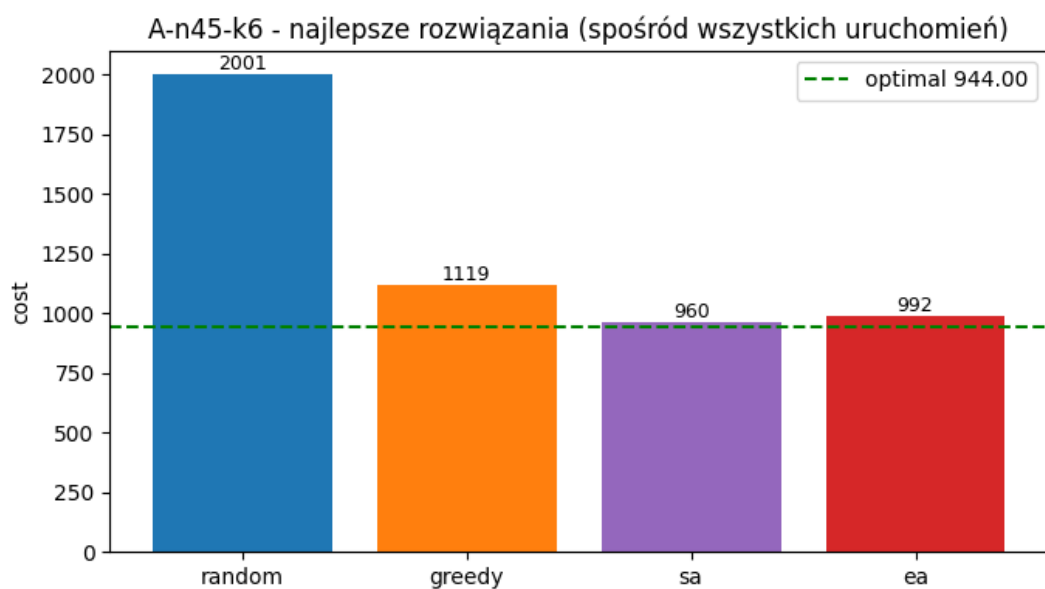
Poprawa względem strojenia #1:

- **EA:** Średnia najlepszych wyników (z kolumny best dla wszystkich 7 instancji): 1099.1 → 1049.3 (poprawa o 4.5%). Najlepszy wynik EA spośród wszystkich strojeń!
- **SA:** Średnia najlepszych wyników: 1044.3 → 1039.3 (poprawa o 0.5%).
- **Stabilność EA:** Zauważalnie mniejsze odchylenie standardowe (np. A-n54-k7: 62.44 → 16.11).

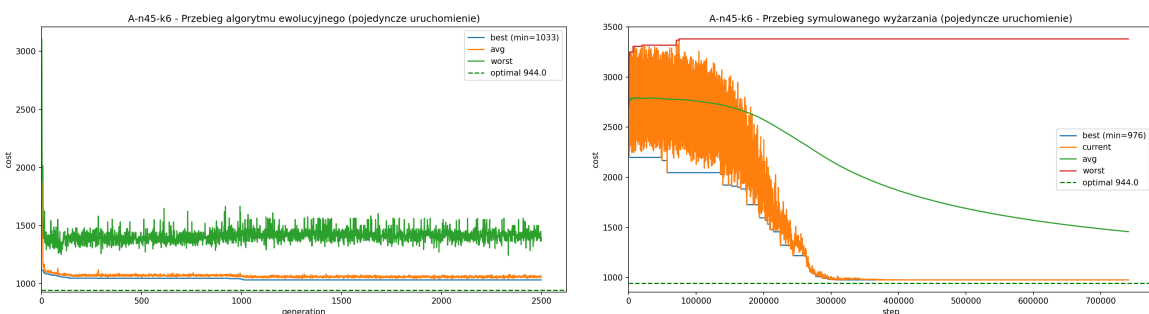
Wnioski:

- **Zaskakujący wynik:** Eksplotacja (greedy seeding + 2-opt) faktycznie pomogła EA osiągnąć najlepsze średnie wyniki.
- Greedy seeding (30% populacji) pozwolił na szybsze znalezienie dobrych obszarów przestrzeni rozwiązań.
- Lokalna poprawa 2-opt skutecznie dopracowywała rozwiązania przed oceną.
- Ryzyko: analiza przebiegów EA pokazuje, że silna eksplotacja (strojenie #2) prowadzi do przedwczesnej zbieżności - najlepszy wynik osiągnął wartość 1045 już w połowie eksperymentu i nie poprawił się w drugiej połowie, a avg zbliżyło się do best (różnica 1%), co wskazuje na utratę różnorodności populacji.

8.2.4 Wykresy (A-n45-k6)



Rysunek 12: Strojenie #2 (A-n45-k6): porównanie najlepszych wyników ze wszystkich uruchomień



Rysunek 13: Strojenie #2 (A-n45-k6): przebiegi pojedynczych uruchomień EA i SA

8.3 Strojenie #3: Czysta eksploracja

8.3.1 Cel i parametry

Trzecie strojenie testowało przeciwnie podejście: czystą eksplorację bez mechanizmów eksplotacji. Celem było sprawdzenie czy wolniejsza, ale szersza eksploracja przestrzeni da lepsze wyniki niż eksplotacja ze strojenia #2.

EA:

- Populacja: 150 → 200 (większa różnorodność)
- Generacje: 2500 → 4000 (więcej czasu)
- Crossover rate: 0.90 → 0.75 (więcej czystej mutacji)
- Mutation rate: 0.15 → 0.30 (dwukrotnie wyższa)
- Tournament: 5 → 2 (minimalna presja)
- Elites: 3 → 1
- **Greedy init: 0.3 → 0.0** (bez greedy seeding)
- **2-opt rate: 0.2 → 0.0** (bez lokalnej poprawy)

SA:

- Temperatura początkowa: 1400 → 1800 (maksymalna)
- Minimalna temperatura: 0.0005 (bez zmian)
- Cooling rate: 0.996 → 0.9975 (najwolniejsze chłodzenie)
- Iteracje na temperaturę: 200 → 250 (maksimum)
- Szacowana liczba kroków: ~65000 → ~400000

8.3.2 Wyniki

Tabela 4: Wyniki strojenia #3 (czysta eksploracja)

Instance	Optimal	Random Run	Random Best	Random Worst	Random Avg	Random Std	Greedy Run	Greedy Best	Greedy Worst	Greedy Avg	Greedy Std	EA Run	EA Best	EA Worst	EA Avg	EA Std	SA Run	SA Best	SA Worst	SA Avg	SA Std
A-32-k5	784	1000	1472	1766	1654.27	50.15	941	941	941	941	0.00	10	814	872	843.5	17.51	10	801	852	817.2	16.78
A-337-k6	949	1000	1577	1888	1789.28	45.69	37	1058	1058	1058	0.00	10	975	1057	1008.1	25.67	10	949	1018	972.8	19.96
A-39-k5	822	1000	1507	1879	1749.35	46.68	39	926	926	926	0.00	10	833	908	873.6	27.88	10	839	888	853.8	12.79
A-45-k6	944	1000	2011	2438	2303.45	56.27	45	1119	1119	1119	0.00	10	953	1077	1022.8	37.16	10	973	1045	1003.1	21.33
A-480-k7	1073	1000	2100	2526	2303.14	57.54	48	1391	1391	1391	0.00	10	1242	1320	1250.5	10	10	1118	1147	1147	17.11
A-54-k7	1167	1000	2476	2872	2723.63	60.37	54	1380	1380	1380	0.00	10	1221	1342	1288.8	37.52	10	1190	1240	1218.2	16.19
A-660-k9	1354	1000	2797	3252	3104.53	63.49	60	1524	1524	1524	0.00	10	1475	1586	1502.3	30.94	10	1391	1473	1413.5	27.02

8.3.3 Analiza wyników

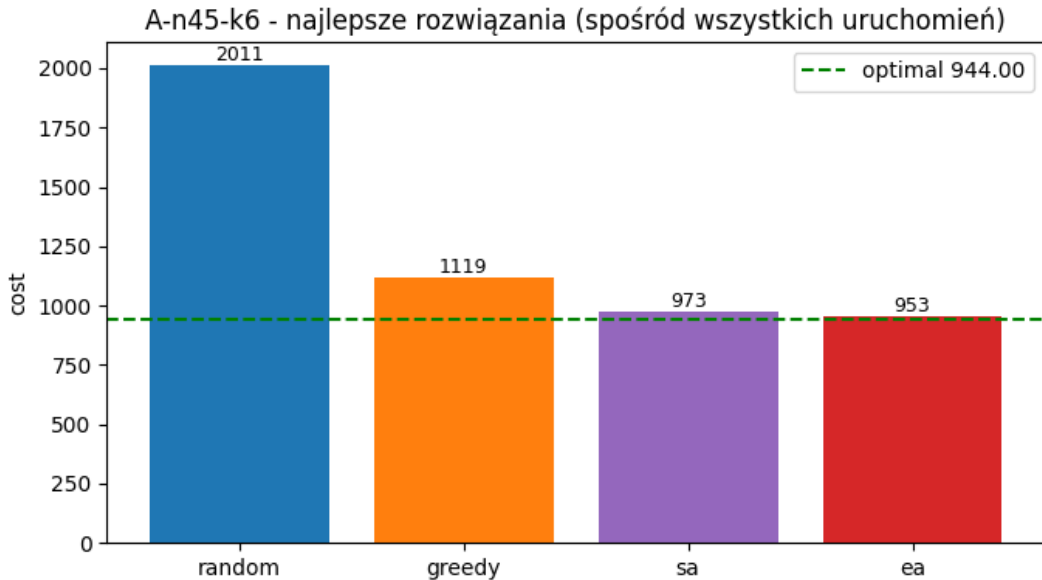
Porównanie ze strojeniem #2:

- **EA:** Średnia najlepszych wyników (best): 1049.3 → 1054.7 (pogorszenie o 0.5%). Czysta eksploracja była nieznacznie gorsza.
- **SA:** Średnia najlepszych wyników (best): 1039.3 → 1037.3 (poprawa o 0.2%). Najlepszy wynik SA!
- **Stabilność:** EA ma większe odchylenie standardowe (eksploracja vs eksplotacja).

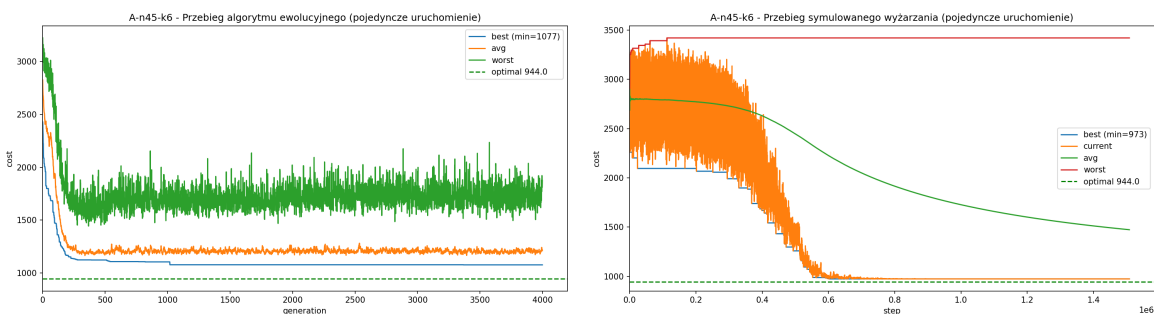
Wnioski:

- Czysta eksploracja dała nieznacznie gorsze wyniki niż eksploatacja w (strojeniu #2) dla EA. Jedyny zysk z eksploracji zauważono dla średnio trudnych instancji.
- SA skorzystał na maksymalnych parametrach - długi budżet obliczeń pozwolił na dogłębną eksplorację.
- EA: brak greedy seeding oznaczał start z gorszych rozwiązań, co wymagało więcej pokoleń na osiągnięcie dobrych wyników.
- Wysoka mutacja (0.30) mogła zakłócać konwergencję do optymalnych rozwiązań.

8.3.4 Wykresy (A-n45-k6)



Rysunek 14: Strojenie #3 (A-n45-k6): porównanie najlepszych wyników ze wszystkich uruchomień



Rysunek 15: Strojenie #3 (A-n45-k6): przebiegi pojedynczych uruchomień EA i SA

8.4 Strojenie #4: Hybrydowe połączenie

8.4.1 Cel i parametry

Czwarte strojenie łączy najlepsze cechy eksploracji (strojenie #2) i eksploracji (strojenie #3). Na podstawie wyników poprzednich eksperymentów zaprojektowano zbalansowane parametry:

EA:

- Populacja: 180 (między 150 a 200)
- Generacje: 3500 (między 2500 a 4000)
- Crossover rate: 0.82 (między 0.90 a 0.75)
- Mutation rate: 0.23 (między 0.15 a 0.30)
- Tournament: 3 (między 5 a 2)
- Elites: 2 (między 3 a 1)
- **Greedy init: 0.15** (połowa ze strojenia #2)
- **2-opt rate: 0.10** (połowa ze strojenia #2)

SA:

- Parametry jak w strojeniu #3 (maksymalne, udowodniony sukces)
- Temperatura: 1800, min: 0.0005, cooling: 0.9975, iter/temp: 250

8.4.2 Wyniki

Tabela 5: Wyniki strojenia #4 (hybryda)

Instance	Optimal	Random Runs	Random Best	Random Worst	Random Avg	Random Std	Greedy Runs	Greedy Best	Greedy Worst	Greedy Avg	Greedy Std	EA Runs	EA Best	EA Worst	EA Avg	EA Std	SA Runs	SA Best	SA Worst	SA Avg	SA Std
A-n32-k5	784	1000	1414	1767	1656.6	48.36	32	941	941	941	0.00	10	829	866	838.4	11.83	10	801	875	826.8	21.66
A-n37-k6	949	1000	1601	1904	1787.76	46.74	37	1058	1058	1058	0.00	10	970	983	974.4	4.01	10	953	992	971.8	12.87
A-n43-k6	1000	1000	1438	1439	1745.98	48.35	39	920	920	920	0.00	10	834	851	840.4	5.62	10	832	876	853.2	14.77
A-n45-k6	944	1000	2079	2430	2398.06	57.65	45	1119	1119	1119	0.00	10	902	1046	1046.9	24.35	10	94747	1083	980	21.87
A-n48-k7	1073	1000	2125	2517	2385.71	60.70	48	1301	1301	1301	0.00	10	1154	1207	1186.6	14.75	10	1107	1183	1146.1	21.62
A-n54-k7	1167	1000	2490	2885	2726.76	60.02	54	1380	1380	1380	0.00	10	1206	1257	1235.3	16.91	10	1190	1286	1231.2	32.70
A-n60-k9	1354	1000	2855	3238	3108.23	61.58	60	1524	1524	1524	0.00	10	1374	1423	1398.6	18.32	10	1380	1474	1414.9	25.57

8.4.3 Analiza wyników

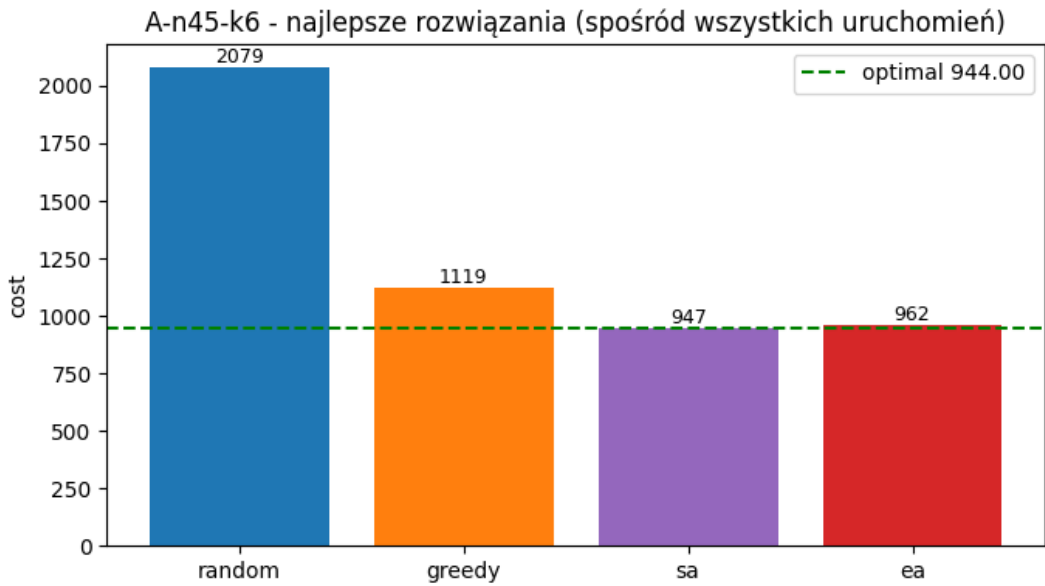
Porównanie z najlepszymi wynikami:

- **EA:** Średnia najlepszych wyników (z kolumny best dla wszystkich 7 instancji): 1048.1 - między strojeniem #2 (1049.3) a #3 (1054.7).
- **SA:** Średnia najlepszych wyników: 1041.0 - nieznacznie gorszy niż strojenie #3 (1037.3).
- **Stabilność EA:** Bardzo niskie odchylenia standardowe (np. A-n37-k6: 4.01), najlepsze spośród wszystkich strojeń.

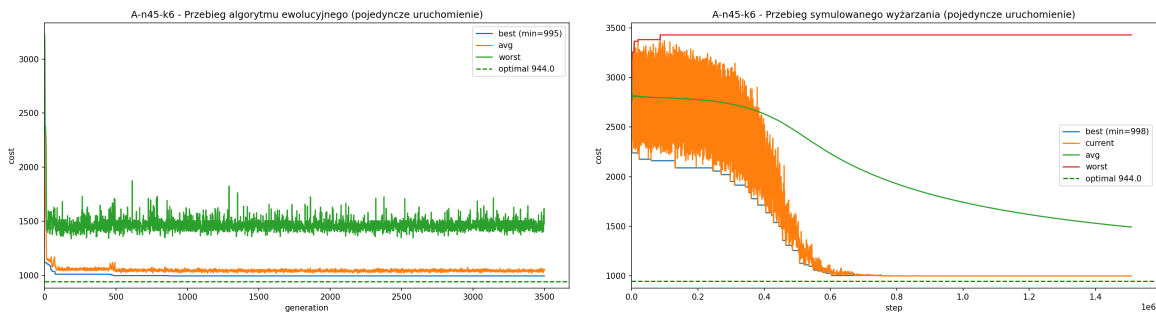
Wnioski końcowe:

- Hybrydowe podejście osiągnęło bardzo stabilne wyniki (niskie std dev) dzięki zbalansowaniu eksploracji i eksploracji.
- Umiarkowana eksploracja (greedy 15%, 2-opt 10%) okazała się dobrym kompromisem.
- Najlepsze absolutne wyniki EA pochodzą ze strojenia #2 (eksploracja), ale kosztem większej zmienności. Zwiększenie budżetu obliczeniowego w podejściu hybrydowym mogłoby przynieść poprawę.
- SA osiągnął plateau w strojeniu #3 - dalsze zwiększanie parametrów prawdopodobnie nie przyniesie poprawy.

8.4.4 Wykresy (A-n45-k6)



Rysunek 16: Strojenie #4 (A-n45-k6): porównanie najlepszych wyników ze wszystkich uruchomień



Rysunek 17: Strojenie #4 (A-n45-k6): przebiegi pojedynczych uruchomień EA i SA

8.5 Podsumowanie strojeń

Tabela 6: Porównanie średnich najlepszych wyników (best) spośród wszystkich strojeń

Strojenie	EA Best (śr.)	SA Best (śr.)	EA std	SA std
Baseline	1167.1	1100.1	64.7	41.3
#1 (operatory)	1099.1	1044.3	48.1	27.4
#2 (eksplatacja)	1049.3	1039.3	17.6	20.5
#3 (eksploracja)	1054.7	1037.3	31.5	18.6
#4 (hybryda)	1048.1	1041.0	13.3	21.6

Kluczowe obserwacje:

1. Wprowadzenie operatorów PMX i inversion (strojenie #1) dało największy skok jakości (5.8% dla EA).
2. Eksplatacja (strojenie #2) wygrała z czystą eksploracją (strojenie #3) w EA, mimo że strojenie #3 miało 60% więcej generacji (4000 vs 2500). Pokazuje to, że balans między eksploracją a eksplatacją jest kluczowy - zbyt słaba presja selekcyjna i brak lokalnej poprawy prowadzą do gorszych wyników nawet przy dłuższym czasie obliczeń.
3. SA konsekwentnie poprawiał się z każdym strojeniem, osiągając optimum w strojeniu #3.
4. Hybrydowe podejście (strojenie #4) dało najbardziej stabilne wyniki przy minimalnie gorszej średniej.

Najlepszy algorytm dla CVRP:

W przeprowadzonym badaniu Symulowane Wyżarzanie (SA) okazało się najbardziej skuteczną metaheurystyką dla CVRP, osiągając konsekwentnie lepsze wyniki od Algorytmu Ewolucyjnego we wszystkich konfiguracjach (średnia przewaga 1-6%). Szczególnie imponujący był wynik w konfiguracji baseline, gdzie SA osiągnęło lepsze rezultaty przy 5x mniejszym budżecie ewaluacji (37,000 vs 200,000). W tym miejscu należy wspomnieć, że różne budżety obliczeniowe w strojeniach utrudniają bezpośrednie porównanie jakości algorytmów. W strojeniach zaawansowanych (#2-#4) różnice jakości się zmniejszyły - SA miało nieznaczną przewagę, natomiast korzystało z większego budżetu obliczeniowego. Niemniej jednak, SA wyróżnia się prostotą implementacji, mniejszą liczbą hiperparametrów oraz brakiem kosztownych operacji genetycznych, co w całokształcie czyni je praktycznym wyborem dla problemów CVRP.